



## سنجش از دور و سامانه اطلاعات جغرافیایی در منابع طبیعی (سال هشتم / شماره چهارم) زمستان ۱۳۹۶

نمایه شده در سایت: پایگاه استنادی علوم جهان اسلام، جهاد دانشگاهی، مگ ایران، نور مگز

آدرس وب سایت: <http://girs.iaubushehr.ac.ir>



# تحلیل فضایی پارامترهای شیمیایی مؤثر در کیفیت آب زیرزمینی با استفاده از تکنیک تحلیل عاملی و مدل‌های زمین‌آماری (مطالعه موردی: دشت بیضاء- زرقان)

حسین بهزادی کریمی<sup>۱\*</sup>، کمال امیدوار<sup>۲</sup>

۱. دانشجوی دکتری آب و هواشناسی، دانشگاه یزد

۲. استاد دانشکده جغرافیا، دانشگاه یزد

### مشخصات مقاله

### چکیده

هدف از این مطالعه، تعیین مهم‌ترین پارامترهای شیمیایی مؤثر در کیفیت آب‌های زیرزمینی دشت بیضاء-زرقان استان فارس با استفاده از تکنیک تحلیل عاملی و برآورده توزیع مکانی پارامترهای کیفی به کمک تحلیل گر زمین‌آماری در نرم‌افزار ArcGIS است. ابتدا داده‌های ۱۲ پارامتر کیفی آب مربوط به ۲۷ حلقه چاه در تابستان سال ۱۳۹۲ جمع‌آوری گردید. پس از نرمال‌سازی داده‌ها، با استفاده از روش تحلیل عاملی (FA)، سه عامل سختی، شوری و اسیدیته آب که در مجموع ۹۰٪ کل واریانس داده‌ها را شامل می‌شدند؛ استخراج گردید. سهم متغیرها در هر عامل بعد از عمل چرخش واریماکس مشخص شد و از هر عامل، دو پارامتر که بیشترین همبستگی معنی‌دار را با عامل خود برقرار نمودند، تعیین گردید. بنابراین از عامل اول، پارامترهای TH و Mg، از عامل دوم، متغیرهای SAR و Na و از عامل سوم، عناصر pH و HCO<sub>3</sub><sup>-</sup> به عنوان مهم‌ترین پارامترهای مؤثر در کیفیت آب زیرزمینی منطقه انتخاب شدند. نتایج حاصل از روش‌های قطعی و زمین‌آماری برای برآورد پارامترهای فوق به کمک معیار آماری ریشه دوم میانگین مربعات خطأ (RMSe) مورد ارزیابی قرار گرفت. نتایج نشان داد که برای همه متغیرها به جز pH، روش کوکریجنگ مناسب‌ترین روش است. برای TH و Mg مدل جی-بل، برای SAR و Na مدل رشنال کوادریک، برای HCO<sub>3</sub><sup>-</sup> مدل نمایی و برای pH روش معکوس فاصله وزنی به توان ۱، از کمترین خطأ و بیشترین دقت نسبت به سایر روش‌های میانیابی برخوردار می‌باشند. نقشه‌های پهن‌بندی مکانی پارامترهای فوق بیانگر آن است که میزان پارامترهای TH، SAR، Mg و Na در نواحی جنوب شرقی به بیشترین و در شمال دشت به کمترین غلظت خود می‌رسد. مقدار pH در منطقه بائش واقع در شمال دشت، نسبت به سایر مناطق بیشتر است و از لحاظ غلظت HCO<sub>3</sub><sup>-</sup> نواحی شمال شرق و جنوب منطقه در شرایط نامناسبی قرار دارند.

\*پست الکترونیکی مسئول مکاتبات: h.bkarimi@chmail.ir

## مقدمه

کیفیت آب زیرزمینی استفاده کرده‌اند. لاو و همکاران (۲۹) از تحلیل عاملی به منظور اثبات ارتباط تغییرات کیفی آب زیرزمینی در اطراف یک معدن آهن و طرح دفع فاصلاب در آفریقای جنوبی با فعالیت‌های کشاورزی و معدنی بهره گرفتند. خسروی و همکاران (۵) با استفاده از تحلیل عاملی و خوشه‌ای اقدام به شناسایی مناطق همگن از نظر کیفیت آب زیرزمینی داشت قیر استان فارس پرداختند. نتایج تحلیل عاملی نشان داد که شش عامل SAR,  $\text{Na}^+$ ,  $\text{Cl}^-$ ,  $\text{HCO}_3^-$ ,  $\text{SO}_4^{2-}$ , pH به ترتیب با بالاترین بار عاملی مهم‌ترین پارامترها جهت انجام آنالیزهای خوشه‌ای می‌باشند.

مدیریت بهینه منابع آبی و حفظ و ارتقای کیفیت آن‌ها نیازمند وجود اطلاعات درزمنیه موقعیت، مقدار و پراکنش فاکتورهای شیمیایی آب در یک منطقه جغرافیایی معین است. پیشرفت تکنیک‌های سنجش از دور از یک طرف و استفاده از دستگاه‌های اندازه‌گیری در زمینه‌های مختلف کمیت و کیفیت آب از طرف دیگر، امکان دسترسی به حجم عظیمی از داده‌ها را در زمینه‌های مختلف مهندسی آب در مناطق مختلف جهان مهیا کرده است (۲۰، ۲۱، ۲۲ و ۳۱ و ۳۲). از آنچاکه پایش کیفی با افزایش تعداد نقاط نمونه برداری بسیار پرهزینه است، بنابراین استفاده از روش‌های زمین‌آماری برای ارزیابی اطلاعات بسیار توسعه پیدا کرده است (۲۲). روش‌های مختلفی برای مطالعه و بررسی تغییرات مکانی پارامترهای شیمیایی آب‌های زیرزمینی وجود دارد که هر کدام از آن‌ها بسته به شرایط منطقه و وجود آمار و اطلاعات دارای دقت‌های مختلفی می‌باشند. از جمله روش‌های میانیابی برای تهیه نقشه تغییرات کیفیت آب‌های زیرزمینی می‌توان به روش‌های قطعی مانند عکس فاصله معکوس، تابع شعاعی، تخمین گر عام و تخمین گر موضعی و روش‌های زمین‌آماری کریجینگ و کوکریجینگ اشاره کرد. انتخاب روش مناسب پنهان‌بندی و تهیه نقشه تغییرات ویژگی‌های کیفی آب‌های زیرزمینی نقش ارزش‌های در فرایند تصمیم‌گیری و مدیریت استفاده و بهره‌برداری از آب‌های زیرزمینی ایفا می‌کند (۲۵، ۲۶، ۲۷ و ۳۰).

در داخل و خارج از کشور، مطالعات مختلفی در

در بین منابع آب، آب‌های زیرزمینی از اهمیت ویژه‌ای برخوردار است و روزبه‌روز هم اهمیت آن بیشتر می‌شود، زیرا بعد از اقیانوس‌ها و بیخ‌های قطبی، بزرگ‌ترین منابع آبی قابل استفاده کره زمین است؛ اما مصرف زیاد آب زیرزمینی باعث شده است که در بسیاری از نقاط جهان، از جمله کشور ما سطح آب زیرزمینی به شدت پائین برود، بسیاری از قنات‌ها و دیگر منابع آبی خشک شود، آب‌شور در سفره‌های آب زیرزمینی شیرین پیش روی کند (۳، ۴ و ۷). از طرف دیگر بر اثر مصرف زیاد در مراکز جمعیتی و صنعتی قسمت قابل توجهی از آب زیرزمینی آلوده گردد و این آلودگی یعنی غیرقابل استفاده شدن آب‌های زیرزمینی، با افزایش جمعیت و پیشرفت علم و فناوری روزبه‌روز بیشتر و گسترده‌تر می‌شود. بنابراین دو خطر بزرگ آب‌های زیرزمینی را تهدید می‌کند، استخراج و مصرف بیش از حد به دلیل دستیابی سهل و آسان به آن و دیگر آلودگی شدید درنتیجه توسعه شهرها و مراکز جمعیتی (۱۱ و ۱۵). موضوع آلودگی، نه تنها در کشورهای صنعتی بلکه در کشورهای کشاورزی و در حال توسعه نیز مطرح است. به عنوان مثال در اکثر شهرهای ایران که آب شرب از منابع زیرزمینی تأمین می‌شود باید به مسئله آلوده بودن این منابع به نیترات و سایر عناصر سمی که ممکن است توسط چاههای فاصلاب یا کودها و سمومی که در کشاورزی مصرف شده و همراه با آب نفوذی به لایه‌های آبدار می‌رسد توجه شود (۱۲ و ۱۳). در چند سال اخیر، مطالعاتی در خصوص ترکیب اثرات متغیرهای مختلف شیمیایی برای ارزیابی کیفیت آب زیرزمینی و ماهیت آلودگی صورت گرفته است. محققین از روش‌های متعددی برای این منظور استفاده کرده‌اند که از جمله آن‌ها می‌توان به روش‌های گرافیکی، تحلیل عاملی و تحلیل خوشه‌ای اشاره کرد. تحلیل عاملی یا به عبارتی تحلیل مؤلفه اصلی راهی است برای کاهش حجم داده‌ها و تبدیل متغیرهای اولیه به چند عامل محدود که بتواند بیشترین پراش متغیرهای اولیه را توجیه کند (۱۴، ۱۷، ۱۸ و ۲۴). پژوهشگران مختلفی از روش تحلیل مؤلفه‌های اصلی برای شناسایی عوامل مؤثر بر

مکانی پارامترهای کیفی آبخوان منطقه مورد مطالعه با استفاده از مدل برتر انتخابی در محیط نرم افزاری ArcGIS<sup>®</sup> 10.3 است. انتخاب مناسب ترین روش و مدل جهت تخمین کیفیت آب زیرزمینی بر اساس فن اعتبارسنجی متقابل و با معیار آماری کمترین مقدار ریشه دوم میانگین مربعات خطای RMSe (RMSe) صورت پذیرفت.

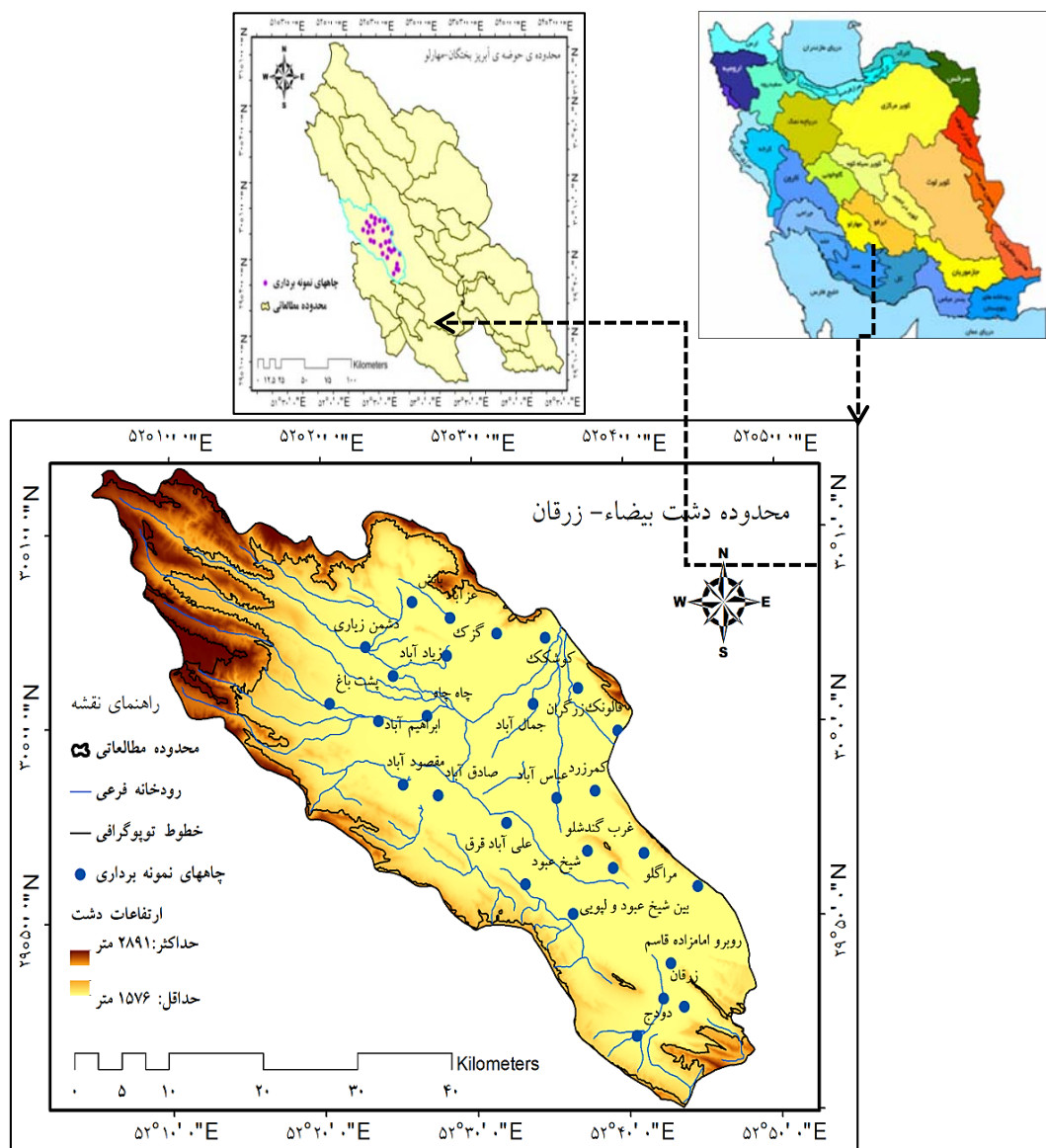
## مواد و روش ها

### منطقه مورد مطالعه

دشت بیضاء- زرقان با مساحت ۱۷۳۸ کیلومترمربع در غرب حوزه آبریز بختگان- مهارلو قرار دارد و بین عرضهای ۲۹°۴۰' تا ۳۰°۱۳' شمالی و طول ۵۲°۰۵' تا ۵۲°۴۸' شرقی واقع شده است. ۹۵۴ کیلومترمربع محدوده مورد مطالعه را دشت و ۷۸۴ کیلومترمربع آن را ارتفاعات تشکیل می دهنند. بلندترین نقطه منطقه حدود ۲۹۷۳ متر، کمترین ارتفاع منطقه ۱۵۶۶ متر و ارتفاع متوسط دشت ۱۹۱۲ متر از سطح دریا است. در بررسی هوا و اقلیم منطقه از آمار ایستگاه هواشناسی زرقان استفاده شده است. میانگین حداقل دما  $7/3$ ، میانگین حداکثر دما  $24/6$  و میانگین متوسط سالانه دما  $16$  درجه سانتی گراد است. میانگین بارندگی سالانه دشت در دوره  $20$  ساله  $341/8$  میلی متر برآورد گردیده است. از نظر زمین شناسی این منطقه در ناحیه زاگرس چین خورده ملایم قرار گرفته و شامل سازندهای زمین شناسی اواخر دوران دوم (کرتاسه) تا رسوبات دوران چهارم و عهد حاضر است. روند چین خورده گی ارتفاعات منطقه از روند عمومی چین خورده گی زاگرس (شمال غربی- جنوب شرقی) تبعیت می کند. شکل ۱ موقعیت منطقه را نشان می دهد. تعداد چاههای نمونه برداری در داخل محدوده مورد مطالعه ۲۷ حلقه چاه است.

خصوصیات کاربرد روش های درون یابی برای مطالعه کیفیت آب های زیرزمینی انجام گرفته است؛ کرسیک (۲۸) روش کریجینگ را از میان دیگر روش های زمین آماری، به عنوان بهترین و قوی ترین ابزار برای میانیابی داده ها و تهیه نقشه های آب زیرزمینی معرفی کرد. براس و هوورنیک (۲۳) برای تعیین الگوی بهینه نمونه برداری از آب های زیرزمینی و تهیه نقشه نوسانات سطح آب زیرزمینی از روش کریجینگ جهانی استفاده کردند. شعبانی (۹) روش های مختلف زمین آماری را به منظور تهیه نقشه های کیفی آب های زیرزمینی دشت نیریز ارزیابی نمود و به این نتیجه رسید که در بین روش های معین، روش تابع شعاعی (RBF) و در بین روش های زمین آماری، روش کریجینگ ساده (SK) برای تهیه نقشه های تغییرات شوری و تغییرات نیترات مناسب هستند. زاهدی فر و همکاران (۸) به پهنه بندی ویژگی های شیمیایی کیفیت آب های زیرزمینی دشت فسا با استفاده از روش های زمین آماری اقدام نمودند و روش کریجینگ معمولی نقطه ای، روش تخمین مناسب شناخته شد. رستم زاده و همکاران (۶) با استفاده از ترکیب مدل های زمین آماری و تصمیم گیری چند معیاری در محیط GIS اقدام به پهنه بندی کیفیت آب زیرزمینی قبل شرب دشت اردبیل نمودند و نتیجه گرفتند که تقریباً  $34\%$  آب زیرزمینی منطقه از لحاظ شرب در حد مطلوب است که در قسمت شرقی دشت قرار دارد. ولی زاده کامران و همکاران (۱۹) به تحلیل مکانی تغییرات شوری آب های زیرزمینی دشت شیرامین استان آذربایجان شرقی با استفاده از مناسب ترین روش زمین آماری پرداختند و نتیجه گرفتند که روش کریجینگ ساده به دلیل R بالاتر و RMSe کمتر مناسب ترین روش است.

هدف از این تحقیق، استفاده از فن تحلیل عاملی به منظور کاهش حجم داده ها و تعیین مهم ترین عناصر شیمیایی مؤثر در کیفیت آب های زیرزمینی دشت بیضاء- زرقان استان فارس، سنگش کارایی روش های مختلف میانیابی و در نهایت پهنه بندی



شکل ۱. موقعیت منطقه مورد مطالعه و پرآکنش چاههای نمونه برداری واقع در دشت بیضاء-زرقان

(pH)، مواد جامد محلول در آب (TDS) و قابلیت هدایت الکتریکی (EC) است، بنابراین ماتریسی به ابعاد  $27 \times 12$  شامل ۱۲ پارامتر شیمیایی و ۲۷ حلقه چاه نمونه برداری تشکیل شد. نرمال بودن توزیع داده‌ها با آزمون کولموگروف-اسمیرنوف (Kolmogorov-Smirnov) در محیط نرم افزاری SPSS بررسی شد و در مواردی که انحراف از توزیع نرمال وجود داشت با استفاده از تبدیل لگاریتمی، توزیع داده‌ها نرمال گردید. همچنین به علت تفاوت در مقیاس اندازه‌گیری متغیرها

## روش تحقیق

در این پژوهش، از داده‌های اندازه‌گیری شده ۱۲ پارامتر کیفی آب با نمونه‌گیری از ۲۷ حلقه چاه بیضاء-زرقان که توسط سازمان آب منطقه‌ای فارس در فصل تابستان سال ۱۳۹۲ تهیه شده بود، استفاده گردید. این ویژگی‌های شیمیایی شامل سختی کل آب (TH)، نسبت جذبی سدیم (SAR)، پتاسیم (K)، سدیم (Na)، منیزیم (Mg)، کلسیم (Ca)، سولفات (SO<sub>4</sub>), کلر (Cl)، بی‌کربنات (HCO<sub>3</sub>)، اسیدیته

نمای تجربی از ریشه میانگین مربع خطای استاندارد (RMSS) که در حالت ایده‌آل نزدیک به یک محاسبه می‌شود و استحکام ساختار فضایی قوی‌تر استفاده شد. با کمک فن اعتبارسنجی متقابل و بر اساس معیار آماری ریشه دوم میانگین مربعات خطای (RMSe) که میزان دقت را نشان می‌دهد، مناسب‌ترین روش میانیابی از میان روش‌های قطعی یعنی معکوس فاصله وزنی و تابع شعاع محور و روش‌های زمین‌آماری کریجینگ و کوکریجینگ، تعیین و انتخاب شد. پس از انجام این مراحل و بر اساس بهترین مدل انتخابی، نقشه‌های توزیع مکانی پارامترهای کیفی آب‌های زیرزمینی منطقه در محیط نرم‌افزار ArcGIS ترسیم و تفسیر گردید. مراحل انجام تحقیق، در شکل ۲ آورده شده است.

از نمره استاندارد (Standar dized Value) داده‌ها استفاده گردید.

پس از کنترل کیفی داده‌ها، به منظور تشخیص مناسب بودن داده‌ها برای انجام تحلیل عاملی از آزمون کرویت بارتلت و آماره KMO استفاده شد. به وسیله تکنیک تحلیل عاملی (Factor Analysis) حجم داده‌ها کاهش یافته و مهم‌ترین پارامترهای شیمیایی در هر عامل تعیین گردید.

به منظور تشریح پیوستگی مکانی متغیرها، نیم تغییرنما داده‌ها رسم گردید. مؤلفه‌های نیم تغییرنما مدل‌های مختلف مبتنی بر روش‌های زمین‌آماری کریجینگ ساده و کوکریجینگ ساده با استفاده از نرم‌افزار ArcGIS<sup>®</sup> 10.3 به دست آمد. به منظور انتخاب مدل مناسب برای برآش بر روی نیم تغییر



شکل ۲. مراحل انجام تحقیق

متغیرهای وابسته به هم را به صورت تعداد کوچک‌تری از ابعاد پنهان یا مکنون (عامل‌ها) امکان‌پذیر می‌سازد، بطوریکه در آن کمترین میزان از دست رفتن اطلاعات وجود داشته باشد. این روش به بررسی همبستگی درونی تعداد زیادی از متغیرها

**تکنیک تحلیل عاملی**  
یکی از روش‌های آماری برای تجزیه اطلاعات موجود در مجموعه داده‌ها، روش تجزیه عمل‌ها یا تحلیل عاملی (FA) است. تحلیل عاملی فن است که کاهش تعداد زیادی از

در زمین‌آمار، برای بررسی ساختار تغییرپذیری متغیر موردمطالعه نسبت به فاصله (مکانی یا زمانی) لازم است تابع نیم تغییرنامی مناسب برقرار شود. نیم تغییرنامی یا واریوگرام، واریانس وابسته به فاصله است که با نماد  $\gamma$  نشان داده می‌شود. اگر جمعاً تعداد  $n$  زوج نمونه،  $Z(x)$  متغیر مشاهده شده و  $Z(x+h)$  متغیر مشاهده شده که با فاصله  $h$  از  $Z(x)$  واقع شده‌اند در دست باشد، نیم تغییرنامی تجربی  $\gamma(h)$  مطابق رابطه ۱ محاسبه گردید.

$$\gamma(h) = \frac{1}{2n(h)} \sum_{i=1}^{n(h)} [Z(x+h) - Z(x)]^2 \quad [1]$$

هر نیم تغییرنما دارای سه مشخصه اصلی، اثر قطعه‌ای (Nugget Effect)، آستانه (Sill) و شعاع تأثیر (Range of Influence) است. مقدار نیم تغییرنما به ازای  $h = 0$ ، اثر قطعه‌ای نامیده می‌شود که معمولاً ناشی از خطاهای نمونه‌برداری، اندازه‌گیری و تجزیه و تحلیل داده‌ها و یا به دلیل تغییرات کوچک‌مقیاس (تغییراتی که در فواصلی کمتر از افزایش  $h$  مقدار نیم تغییرنما تا فاصله معینی که دامنه یا شعاع تأثیر می‌نماید، افزایش می‌یابد و پس از آن به حد ثابتی می‌رسد که به آن آستانه گفته می‌شود.

### روش‌های میانیابی

**روش معکوس فاصله وزنی (IDW; Inverse Distance Weighted)** بر این اصل استوار است که در یک سطح میانیابی اثر یک پارامتر بر نقاط اطراف آن نقطه یکسان نیست و نقاط نزدیک، بیشتر و نقاط دور، کمتر تحت تأثیر قرار می‌گیرند و هر چه فاصله از مبدأ افزایش می‌یابد، اثر کمتر خواهد شد. رابطه ۲، برآورد در روش معکوس فاصله وزنی را نشان می‌دهد.

$$Z(x_i) = \frac{\sum_{i=1}^n x_i \frac{1}{d_i^\alpha} Z(x_i)}{\sum_{i=1}^n \frac{1}{d_i^\alpha}} \quad [2]$$

در این رابطه،  $d_i$  فاصله بین نقطه تخمین تا هر یک از نمونه‌های واقع در همسایگی آن،  $Z(x_i)$  مقدار تخمین خاصیت

می‌پردازد و درنهایت آن‌ها را در قالب عامل‌های عمومی محدودی دسته‌بندی و تبیین می‌کند. بنابراین عدمه‌ترین هدف تحلیل عاملی، کاهش حجم داده‌ها و تعیین مهم‌ترین متغیرهای مؤثر در شکل‌گیری پدیده‌ها است.

به‌منظور تشخیص مناسب بودن داده‌ها برای تحلیل عاملی از دو روش  $KMO$  (Kaiser Meyer Olkin) و آزمون بارتلت استفاده می‌شود. با توجه به این‌که هدف تحلیل عاملی خلاصه کردن متغیرها در تعدادی عامل است، درنتیجه باید روش استخراج عامل‌ها و معیار تعیین آن‌ها مشخص شود.

در اینجا از روش استخراج عاملی مؤلفه‌های اصلی (PC; Principal Components) استفاده شده است. در مرحله بعد برای دستیابی به ماتریس عاملی ساده و ازنظر تئوریکی معنادار و قابل تفسیرتر، عامل‌ها باید به دور مبدأ چرخش داده شوند، تا موقعیت جدید کسب کنند. دو نوع چرخش وجود دارد که شامل چرخش متعامد و چرخش متمایل است. در اینجا از روش چرخش متعامد با رویکرد واریماکس (Varimax) استفاده شد. برای تفسیر عامل‌ها باید مشخص شود که کدام‌یک از بارهای عاملی باید به عنوان مقادیر معنی‌دار لحاظ شوند.

برای اتخاذ این تصمیم بدین صورت عمل می‌شود که هر چه میزان بار عاملی بیشتر باشد، سطح معنی‌داری آن‌ها در تفسیر ماتریس عاملی افزایش می‌یابد. بارهای عاملی بزرگ‌تر از  $\pm 0.4$ ، معنی‌دار و بارهای عاملی که بزرگ‌تر از  $\pm 0.3$  دارای سطح معنی‌داری بالا و بارهای عاملی که بزرگ‌تر از  $\pm 0.5$  باشند بسیار معنی‌دار هستند. بنابراین در تحلیل عاملی متغیری مهم است و به عنوان عامل تعیین می‌شود که تغییرات آن بالا باشد و واریانس بالایی داشته باشد (۱).

### نیم تغییرنما

به‌منظور تشریح پیوستگی مکانی پارامترهای کیفی آب‌های زیرزمینی منطقه، اقدام به ترسیم نیم تغییرنامی (Variogram) عناصر شیمیایی که دارای بالاترین وزن عاملی در هر عامل بودند در محیط نرم‌افزار ArcGIS گردید.

می‌شود.

$$Z_v^*(u_0) = \sum_{i=1}^N [a_i Z_v(u_i) + \beta_i Z_w(u_i)] \quad [5]$$

در این رابطه؛  $Z_v^*(u_0)$  مقدار تخمین زده شده متغیر اصلی  $Z_v$  در موقعیت  $u_0$  است.  $a_i$  وزن نسبت داده شده به مقدار مشاهدهای متغیر اصلی  $Z_v$  در موقعیت  $u_i$  است.  $\beta_i$  وزن نسبت داده شده به مقدار مشاهده شده متغیر کمکی  $Z_w$  در موقعیت  $u_i$  و  $N$  تعداد مشاهدات در اطراف نقطه مورد تخمین است. در این مطالعه، برای تبدیل داده‌های نقطه‌ای به نقشه سطح و تولید نقشه‌های تغییرات مکانی هر یک از پارامترهای کیفی آب‌های زیرزمینی دشت بیضاء-زرقان، از روش‌های قطعی مانند معکوس فاصله وزنی (IDW) با توان بهینه و شبکه توابع پایه شعاعی (RBF) با ۵ مدل مختلف و از روش‌های زمین‌آمار (SCOK) مانند، کریجینگ ساده (SK) و کوکریجینگ ساده (SCOK) هر کدام با ۱۱ مدل در نرم‌افزار ArcGIS® 10.3 استفاده گردید.

#### معیار ارزیابی و صحبت‌سنجدی روش‌ها

به منظور انتخاب مدل مناسب برای برآش بر روی نیم تغییر نمای تجربی از فن اعتبارسنجی متقابل (CrossValidation) و بر اساس مقدار ریشه میانگین مربع خطای استاندارد (RMSS; Root Mean Square) و استحکام ساختار فضایی استفاده شد. مقدار ریشه میانگین مربع خطای استاندارد با نزدیک شدن به یک، نشان‌دهنده دقیقت بالای تخمین است. مقدار RMSS از رابطه ۶ به دست می‌آید.

$$RMSS = \frac{1}{n} \sum_{i=1}^n |\bar{Z}(x_i) - Z(x_i)| \quad [6]$$

در این رابطه؛  $\bar{Z}(x_i)$  مقدار برآورده شده متغیر مورد نظر،  $Z(x_i)$  مقدار اندازه‌گیری شده متغیر مورد نظر و  $n$  تعداد داده‌ها است. همچنین از نسبت اثر قطعه‌ای به آستانه تأثیر (Co/C+Co) به عنوان شاخصی از چگونگی قدرت ساختار مکانی در متغیرها استفاده می‌شود. وقتی این نسبت کمتر از ۰/۲۵ باشد؛ متغیر مورد نظر دارای ساختار مکانی قوی است.

مورد نظر در نقطه  $x_i$ ،  $Z(x_i)$  مقدار مشاهده شده خاصیت مورد نظر در نقطه  $x_i$  و  $\alpha$  توان عکس فاصله است.

#### روش تابع پایه شعاعی (RBF; Radial Basis Functions)

یک تابع عمومی را به کار می‌گیرد که وابسته به فاصله بین نقاط درون‌بابی شده و نمونه‌برداری شده است. تعریف ریاضی این روش در رابطه ۳ آورده شده است.

$$Z(x) = \sum_{i=1}^m a_i f_i(x) + \sum_{j=1}^n b_j \Psi(d_j) \quad [3]$$

در این رابطه؛  $f_i(x)$  تابع پایه شعاعی،  $b_j$  فاصله بین نقاط نمونه‌برداری شده و پیش‌بینی شده نقطه  $x$  را نشان می‌دهد.  $\Psi(d_j)$  روند تابع و عضو اساسی برای چند جمله‌ای‌هایی با درجه کمتر از  $m$  است. روش تابع شعاعی خود، بر حسب نوع تابع دارای ۵ نوع اسپیلاین کاملاً منظم، اسپیلاین کششی، اسپیلاین چند ربعی، اسپیلاین چند ربعی معکوس و اسپیلاین صفحه‌ای نازک است.

#### روش کریجینگ (Kriging)

زمین‌آماری است که بر پایه میانگین متحرک وزن دار استوار است؛ بطوریکه می‌توان گفت این روش بهترین برآورد کننده خطی نالاریب است. در این روش با استفاده از نقاط معلوم و نیم تغییر نما، مقادیر مجهول برآورد می‌گردند. رابطه کلی کریجینگ برای برآورد مقادیر یک متغیر به صورت رابطه ۴ بیان می‌شود.

$$Z(S_0) = \sum_{i=0}^N \lambda_i Z(S_i) \quad [4]$$

در این رابطه؛ ضریب  $\lambda_i$  مجموعه‌ای از وزن‌ها است که به نحوی انتخاب می‌شوند تا  $Z(S_0)$  برآورد نالاریب با حداقل خطای  $Z(S_i)$  باشد.

#### تخمین‌گر کوکریجینگ (COKriging)

کریجینگ توسعه یافته است که در آن متغیرهای ثانویه نیز لحاظ شده‌اند. با بهره‌گیری از مقادیر متغیر ثانویه یا کمکی و با در اختیار داشتن اطلاعات مربوط به همبستگی دو جانبه بین متغیرها می‌توان تخمین مناسب و دقیق‌تری از متغیر اصلی به دست آورد. تخمین گر کوکریجینگ مطابق رابطه ۵ محاسبه

در این رابطه؛  $(\bar{Z}(x_i))$  مقدار برآورد شده در نقطه  $x_i$  و  $Z(x_i)$  مقدار اندازه‌گیری شده در نقطه  $x_i$  و  $n$  تعداد داده‌ها است.

### نتایج

در اغلب آزمون‌های پارامتری مفروضات مقدماتی بسیاری وجود دارد که تا این مفروضات تأمین نشوند، نتایج به دست آمده از آزمون، نامعتبر خواهد بود. در میان این مفروضات مهم‌ترین و شایع‌ترین فرض، فرض نرمال بودن داده‌هاست. نتایج حاصل از نرمال بودن داده‌ها بعد از تبدیل لگاریتمی با استفاده از آزمون کولموگروف-اسمیرنوف در سطح ۵ درصد نشان داد که توزیع داده‌ها نرمال می‌باشد (جدول ۱).

بین ۰/۷۵ تا ۰/۲۵ ساختار مکانی متوسط بوده و هنگامی که بزرگ‌تر از ۰/۷۵ باشد، ساختار مکانی ضعیف است (۲۹). همبستگی قوی مکانی به این معنی است که در دامنه تأثیر می‌توان متغیر موردنظر را تخمین زد. معیارهای متعددی نیز برای ارزیابی کارایی روش‌های میانیابی وجود دارد؛ که کاربردی‌ترین آن‌ها عبارت‌اند از میانگین قدر مطلق خطا (MAE)، میانگین انحراف خطا (MBE) و ریشه دوم میانگین مربعات خطا (RMSe). در این تحقیق با کمک فن اعتبارسنجی متقابل و بر اساس ریشه دوم میانگین مربعات خطا، مناسب‌ترین روش برای ترسیم پنهان‌های موردنظر انتخاب گردید. نحوه محاسبه آن مطابق رابطه ۷ است:

$$\text{RMSe} = \sqrt{\left[ \sum_{i=1}^n (\bar{Z}(x_i) - Z(x_i))^2 / n \right]} \quad [7]$$

جدول ۱. مقادیر sig حاصل از آزمون کولموگروف-اسمیرنوف برای بررسی نرمال بودن داده‌ها بعد از تبدیل لگاریتمی

ردیف	متغیر کیفی	واحد اندازه‌گیری	sig	مقدار	ردیف	متغیر کیفی	واحد اندازه‌گیری	sig	مقدار	ردیف	متغیر کیفی
۱	TH	میلی‌گرم در لیتر	۰/۲۸۸	۰/۰۵۲	۷	SO <sub>4</sub>	میلی‌اکی والان در لیتر	۰/۲۸۸	۰/۰۵۲	۱	میلی‌اکی والان در لیتر
۲	SAR	(میلی‌اکی والان در لیتر)	۰/۵۹۴	۰/۹۵۱	۸	Cl	میلی‌اکی والان در لیتر	۰/۵۹۴	۰/۹۵۱	۲	میلی‌اکی والان در لیتر
۳	K	میلی‌اکی والان در لیتر	۰/۷۶۷	۰/۷۵۱	۹	HCO <sub>3</sub>	میلی‌اکی والان در لیتر	۰/۷۶۷	۰/۷۵۱	۳	میلی‌اکی والان در لیتر
۴	Na	میلی‌اکی والان در لیتر	۰/۶۱۴	۰/۳۷۸	۱۰	pH	میلی‌اکی والان در لیتر	۰/۶۱۴	۰/۳۷۸	۴	میلی‌اکی والان در لیتر
۵	Mg	میلی‌اکی والان در لیتر	۰/۷۷۶	۰/۷۲۹	۱۱	TDS	میلی‌گرم در لیتر	۰/۷۷۶	۰/۷۲۹	۵	میلی‌اکی والان در لیتر
۶	Ca	میلی‌اکی والان در لیتر	۰/۳۷۹	۰/۶۶۲	۱۲	EC	میکرو موس بر سانتیمتر	۰/۳۷۹	۰/۶۶۲	۶	میلی‌اکی والان در لیتر

مناسب هستند. با توجه به اینکه مقدار sig (احتمال) آزمون بارتلت کوچک‌تر از ۵ درصد می‌باشد، تحلیل عاملی برای شناسایی ساختار (مدل عاملی) مناسب است، و بین متغیرها همبستگی معنی‌دار وجود دارد (جدول ۲).

### روش تحلیل عاملی

مقادیر داده‌های مربوط به ۱۲ پارامتر شیمایی و ۲۷ حلقه چاه پیزومتری را وارد نرم‌افزار SPSS کرده و آزمون همبستگی داده‌ها برای انجام تحلیل عاملی انجام گرفت. چون مقدار آماره KMO برابر ۰/۷۹۱ است؛ پس داده‌ها برای انجام تحلیل عاملی

جدول ۲. نتایج آزمون کرویت بارتلت و آماره KMO

KMO آزمون	۰/۷۹۱
کای اسکوار	۸۰۹/۲۵۷
آزمون کرویت-بارتلت	۶۶
سطح معنی داری (sig.)	۰/۰۰۰

به دست آمده که با روش واریماکس چرخش داده شده‌اند، نشان می‌دهند که عامل‌های سختی آب، شوری آب و اسیدیته آب به ترتیب هر کدام ۴۴/۴۶، ۳۴/۷۳ و ۱۰/۹۱ درصد و در مجموع ۹۰/۱ درصد پراش داده‌ها را تبیین می‌نمایند.

نتایج مقادیر ویژه و واریانس متناظر با عامل‌ها نشان می‌دهد که مقدار ویژه هر عامل، نسبتی از واریانس کل متغیرها است که توسط آن عامل تبیین می‌شود. همان‌گونه که مشاهده می‌شود سه عامل قابلیت تبیین واریانس‌ها را دارند. عامل‌های

جدول ۳. درصد واریانس و مقادیر ویژه عامل‌های مختلف بعد از عمل چرخش

کیفی	عامل	مقادیر ویژه اولیه	مقادیر ویژه عامل‌هایی که بزرگ‌تر از ۰/۵ می‌باشند	(بعد از عمل چرخش)	مقادیر تجمعی درصد واریانس	کل	درصد واریانس	مقادیر تجمعی درصد واریانس	کل	درصد واریانس	کل
	۱	۸/۳۴۰	۶۹/۵۰۲	۶۹/۵۰۲	۴۴/۴۶۳	۵/۳۳۶	۴۴/۴۶۳	۶۹/۵۰۲	۴۴/۴۶۳	۷۹/۱۹۷	۴/۱۶۸
	۲	۱/۴۲۶	۱۱/۸۸۷	۱۱/۸۸۷	۳۴/۷۳۴	۴/۱۶۸	۳۴/۷۳۴	۸۱/۳۸۹	۳۴/۷۳۴	۹۰/۱۰۹	۱۰/۹۱۲
	۳	۱/۰۴۶	۸/۷۲۰	۸/۷۲۰	۹۰/۱۰۹	۱/۳۰۹	۹۰/۱۰۹	۹۰/۱۰۹	۹۰/۱۰۹	-	-
	۴	۰/۶۲۳	۵/۱۹۰	۵/۱۹۰	-	-	-	۹۵/۲۹۹	-	-	-
	۵	۰/۲۸۶	۲/۳۸۴	۲/۳۸۴	-	-	-	۹۷/۶۸۳	-	-	-
	۶	۰/۲۰۴	۱/۷۰۲	۱/۷۰۲	-	-	-	۹۹/۳۸۵	-	-	-
	۷	۰/۰۳۰	۰/۲۴۷	۰/۲۴۷	-	-	-	۹۹/۶۳۲	-	-	-
	۸	۰/۰۲۶	۰/۲۱۸	۰/۲۱۸	-	-	-	۹۹/۸۵۰	-	-	-
	۹	۰/۰۰۹	۰/۰۷۵	۰/۰۷۵	-	-	-	۹۹/۹۲۵	-	-	-
	۱۰	۰/۰۰۵	۰/۰۳۹	۰/۰۳۹	-	-	-	۹۹/۹۶۴	-	-	-
	۱۱	۰/۰۰۴	۰/۰۳۶	۰/۰۳۶	-	-	-	۱۰۰	-	-	-
	۱۲	۲/۱۹۱×۱۰ <sup>-۶</sup>	۱/۸۲۶×۱۰ <sup>-۵</sup>	۱/۸۲۶×۱۰ <sup>-۵</sup>	-	-	-	۱۰۰	-	-	-

همان‌گونه که مشاهده می‌شود؛ پارامترهای کیفی TH و Mg به ترتیب با میزان ۰/۹۳۶ و ۰/۹۱۷ بیشترین ضریب همبستگی با عامل اول، متغیرهای SAR و Na به ترتیب با مقدار ۰/۹۴۶ و ۰/۸۹۸ بیشترین همبستگی معنی‌دار با عامل دوم و متغیرهای pH و HCO<sub>3</sub> نیز به ترتیب با مقدار ۰/۹۱۱ و ۰/۶۵۰- بیشترین همبستگی معنی‌دار را با عامل سوم برقرار می‌کنند. بنابراین از عامل اول پارامترهای TH و Mg، از عامل دوم متغیرهای SAR

برای تفسیر عامل‌ها باید مشخص شود که کدام‌یک از بارهای عاملی باید به عنوان مقادیر معنی‌دار لحاظ شوند، بنابراین هر چه میزان بار عاملی بیشتر باشد سطح معنی‌داری آن‌ها در تفسیر ماتریس عاملی افزایش می‌یابد. جدول ۴ سهم متغیرها یا بار عاملی را در هر عامل بعد از عمل چرخش (چرخش واریماکس) نشان می‌دهد. هر متغیر در عاملی قرار می‌گیرد که با آن عامل همبستگی بالای معنی‌دار داشته باشد.

تا استفاده از روش‌های مختلف میانیابی، نقشه‌های پهن‌بندی کیفیت آب زیرزمینی منطقه تهیه شود.

و  $\text{Na}$  و از عامل سوم عناصر  $\text{pH}$  و  $\text{HCO}_3$  به عنوان مهم‌ترین پارامترهای مؤثر در کیفیت آب زیرزمینی منطقه انتخاب شدند.

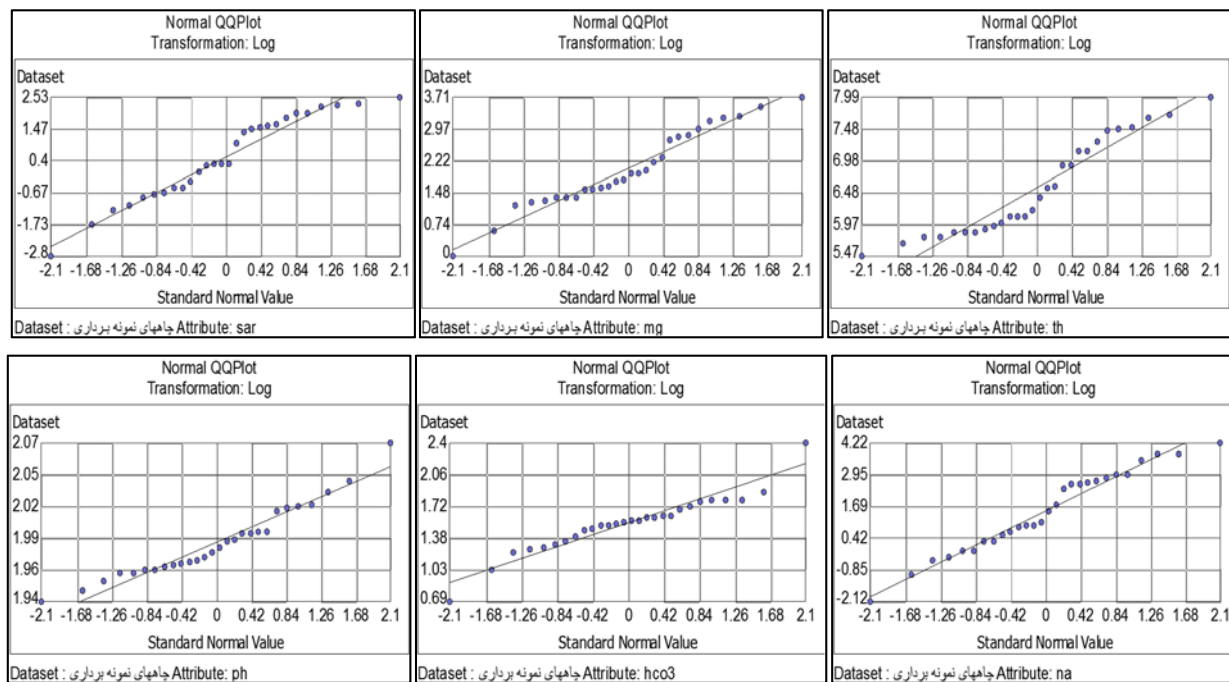
#### جدول ۴. سهم متغیرها یا بار عاملی در هر عامل با چرخش واریماکس

عامل‌ها			پارامترهای کیفی
سوم	دوم	اول	آب زیرزمینی
۰/۰۶۳	۰/۳۱۷	۰/۹۳۶	TH
۰/۰۰۳	۰/۹۴۶	۰/۱۹۸	SAR
۰/۰۶۹	۰/۶۶۱	۰/۷۳۱	K
۰/۰۱۸	۰/۸۹۸	۰/۳۸۹	Na
۰/۱۱۷	۰/۱۵۸	۰/۹۱۷	Mg
-۰/۰۰۷	۰/۴۴۱	۰/۷۹۰	Ca
۰/۰۱۰	۰/۵۴۰	۰/۶۸۴	$\text{SO}_4$
۰/۱۴۸	۰/۶۵۹	۰/۶۹۳	Cl
-۰/۶۵۰	۰/۲۶۸	-۰/۴۷۲	$\text{HCO}_3$
۰/۹۱۱	۰/۱۹۷	-۰/۰۹۳	pH
۰/۰۸۷	۰/۶۶۸	۰/۷۳۱	TDS
۰/۰۷۸	۰/۶۵۴	۰/۷۴۵	EC

پارامتری‌های شیمیابی سختی کل آب و منیزیم برای عامل اول، نسبت جذبی سدیم و سدیم برای عامل دوم و اسیدیته و بی‌کربنات را برای عامل سوم نشان می‌دهد. همان‌طور که مشاهده می‌شود داده‌ها حول یک خط راست برازش یافته‌اند و از شرایط نرمال تبعیت می‌کنند. بنابراین شرط نرمال بودن توزیع داده‌ها برای استفاده از روش‌های زمین‌آمار برقرار است.

#### روش‌های درون‌یابی

نرمال بودن داده‌ها شرط استفاده از روش‌های زمین‌آمار است. با بررسی آزمون کولموگروف-اسمیرنوف مشخص شد که داده‌ها از توزیع نرمال تبعیت نمی‌کنند؛ به همین دلیل داده‌ها به لگاریتم داده‌ها منتقل گردید تا این طریق داده‌ها از توزیع نرمال تبعیت کنند. شکل ۳ نمودار QQPlot لگاریتم



شکل ۳. نمودار لگاریتم پارامترهای کیفی منابع آب زیرزمینی

اثر قطعه‌ای در بین ۶ پارامتر کیفی مورد بررسی از مقدار ۰ تا ۰/۷۹ نوسان دارد. درصد اثر قطعه‌ای به آستانه در پارامتر کیفی SAR با روش کریجینگ و مدل دایره‌ای بیشترین (۶۸/۶) درصد و در متغیرهای Mg با روش کریجینگ و مدل جی-بسل، pH با روش کوکریجینگ و مدل نمایی، HCO<sub>3</sub> با دو روش کریجینگ نمایی و کوکریجینگ نمایی، کمترین (صفرا) بود. که به ترتیب نشان‌دهنده همبستگی مکانی متوسط و قوی بین پارامترهای اندازه‌گیری شده است. بنابراین از شش پارامتر مورد مطالعه، ۱۰ مورد وابستگی مکانی قوی و ۱ مورد همبستگی مکانی متوسط را نشان دادند. همان‌گونه که مشاهده می‌شود؛ آنکه مقدار آستانه تأثیر آن صفر است، درصد اثر قطعه‌ای به آستانه برای آن تعریف‌نشده و نمی‌توان برای آن کلاس وابستگی مکانی در نظر گرفت.

پس از بررسی و حذف روند داده‌ها، مؤلفه‌های نیم تغییرنما مدل‌های مختلف مبتنی بر روش‌های زمین‌آماری کریجینگ ساده و کوکریجینگ ساده با استفاده از نرم‌افزار ArcGIS به دست آمد (جدول ۵). به منظور انتخاب مدل مناسب برای برآش بر روی واریوگرام تجربی با روش تعیین اعتبار و با استفاده ازتابع ریشه میانگین مریع خطای استاندارد (RMSEs) و استحکام ساختار فضایی قوی‌تر استفاده شد. در حالت ایده‌آل، ریشه میانگین مریع خطای استاندارد (RMSEs) نزدیک به یک محاسبه می‌شود. همان‌گونه که مشاهده می‌شود؛ برای تمامی پارامترهای کیفی مقدار ریشه میانگین مریع خطای استاندارد در روش زمین‌آماری کوکریجینگ نسبت به مقادیر RMSEs در روش کریجینگ به یک نزدیک‌تر است؛ بنابراین مدل‌های تخمینی در روش کوکریجینگ، از دقت بیشتر و خطای کمتری برخوردار است. نسبت اثر قطعه‌ای به آستانه را می‌توان برای ارزیابی ساختار فضایی داده‌ها مورد بررسی قرار داد. مقدار

جدول ۵. مؤلفه‌های نیم تغییرنما متناسب بازش شده برای پارامترهای کیفی آب‌های زیرزمینی دشت بیضاء-زرقان

پارامترهای کیفی	زمین‌آماری	روش‌های کریجینگ	مناسب‌ترین مدل تخمینی	اثر قطعه‌ای $C_0$	آستانه تأثیر $C+Co$	شعاع تأثیر	درصد اثر قطعه‌ای / آستانه $Co / C+Co$	کلاس وایستگی مکانی	RMSs	مقدار
TH		کریجینگ	رشناک کوادریک	۰/۰۰۰۵	۰/۰۴۲	۱۲۲۷۰	۰/۰۹	قوی	۰/۸۵	
		کوکریجینگ	جی بسل	۰/۰۲	۰/۵۱۸	۱۱۸۷۰	۳/۸	قوی	۱/۱۲	
		کریجینگ	جی بسل	۰	۰/۸۰۱	۱۰۸۲۴	۰	قوی	۱/۲۶	
Mg		کوکریجینگ	جی بسل	۰/۰۷	۰/۷۰۸	۱۱۸۳۶	۹/۸	قوی	۰/۷۹	
		کریجینگ	دایره‌ای	۰/۷۹	۱/۱۵۰	۱۹۹۶۰	۶۸/۶	متوسط	۰/۵۲	
SAR		کوکریجینگ	رشناک کوادریک	۰/۰۳	۱/۷۲۱	۲۰۱۴۳	۱۳/۳	قوی	۰/۶۱	
		کریجینگ	رشناک کوادریک	۰/۰۰۲	۲/۶۵۲	۱۸۹۷۳	۰/۰۷	قوی	۰/۳۶	
Na		کوکریجینگ	رشناک کوادریک	۰/۰۰۲	۲/۶۷۴	۲۰۱۴۳	۰/۰۷	قوی	۰/۴۶	
pH		کریجینگ	نمایی	۰/۰۰۰۹	۰	۵۶۸۰۶	تعريف‌نشده	تعريف‌نشده	تعريف‌نشده	تعريف‌نشده
		کوکریجینگ	نمایی	۰	۰/۰۰۰۵	۱۰۶۲۶	۰	قوی	۱/۲۹	
		کریجینگ	نمایی	۰	۰/۱	۱۰۱۳۱	۰	قوی	۱/۲۷	
HCO <sub>3</sub>		کوکریجینگ	نمایی	۰	۰/۰۹۹	۱۰۲۰۹	۰	قوی	۰/۸۹	

نتایج حاصل از همبستگی بین عناصر شیمیایی نشان‌دهنده ارتباط بسیار خوب TH با پتاسیم، منیزیم، کلسیم، سولفات، کلر، مواد جامد محلول در آب و هدایت الکتریکی است که همگی در سطح  $0/01$  معنی‌دار می‌باشند. عنصر شیمیایی Mg با سختی کل آب، پتاسیم، سولفات، کلر، مواد جامد محلول در آب و هدایت الکتریکی همبستگی قوی و معنی‌دار دارد. متغیر SAR ارتباط خوب و معنی‌داری با پتاسیم، سدیم، کلر، مواد جامد محلول در آب و هدایت الکتریکی برقرار می‌کند. پارامتر شیمیایی Na همبستگی قوی و مثبتی با نسبت جذبی سدیم، پتاسیم، کلر، مواد جامد محلول در آب و هدایت الکتریکی دارد، اما پارامترهای pH و HCO<sub>3</sub> به دلیل محدوده تغییرات بسیار کم در نمونه آب زیرزمینی همبستگی خوبی با دیگر عناصر ندارند.

در روش کوکریجینگ، پس از تشکیل ماتریس همبستگی، برای برآوردهای پارامترهای کیفی از متغیر کمکی یا ثانویه استفاده شد که دارای بیشترین ضریب همبستگی با عامل مورد نظر است (جدول ۶). بنابراین برای برآوردهای غلط ساختی کل آب از پارامتر شیمیایی Mg ( $r=0/92$ )، برای برآوردهای غلط پارامتر منیزیم از متغیر TH ( $r=0/92$ )، برای برآوردهای شیمیایی سدیم از متغیر Na ( $r=0/97$ )، برای برآوردهای شیمیایی سدیم از متغیر SAR ( $r=0/97$ )، استفاده گردید. گرچه متغیرهای pH و HCO<sub>3</sub> ارتباط قوی و معنی‌داری با سایر عناصر شیمیایی برقرار نکردند (همبستگی تقریباً ضعیف و منفی) اما با ترسیم نیم تغییرنما متقابل پارامتر اسیدیته با بی‌کربنات و نیز بی‌کربنات با منیزیم در مدل نمایی، همبستگی مکانی قابل قبولی را نشان دادند، اما در دیگر مدل‌های کوکریجینگ همبستگی مکانی مشاهده نشد.

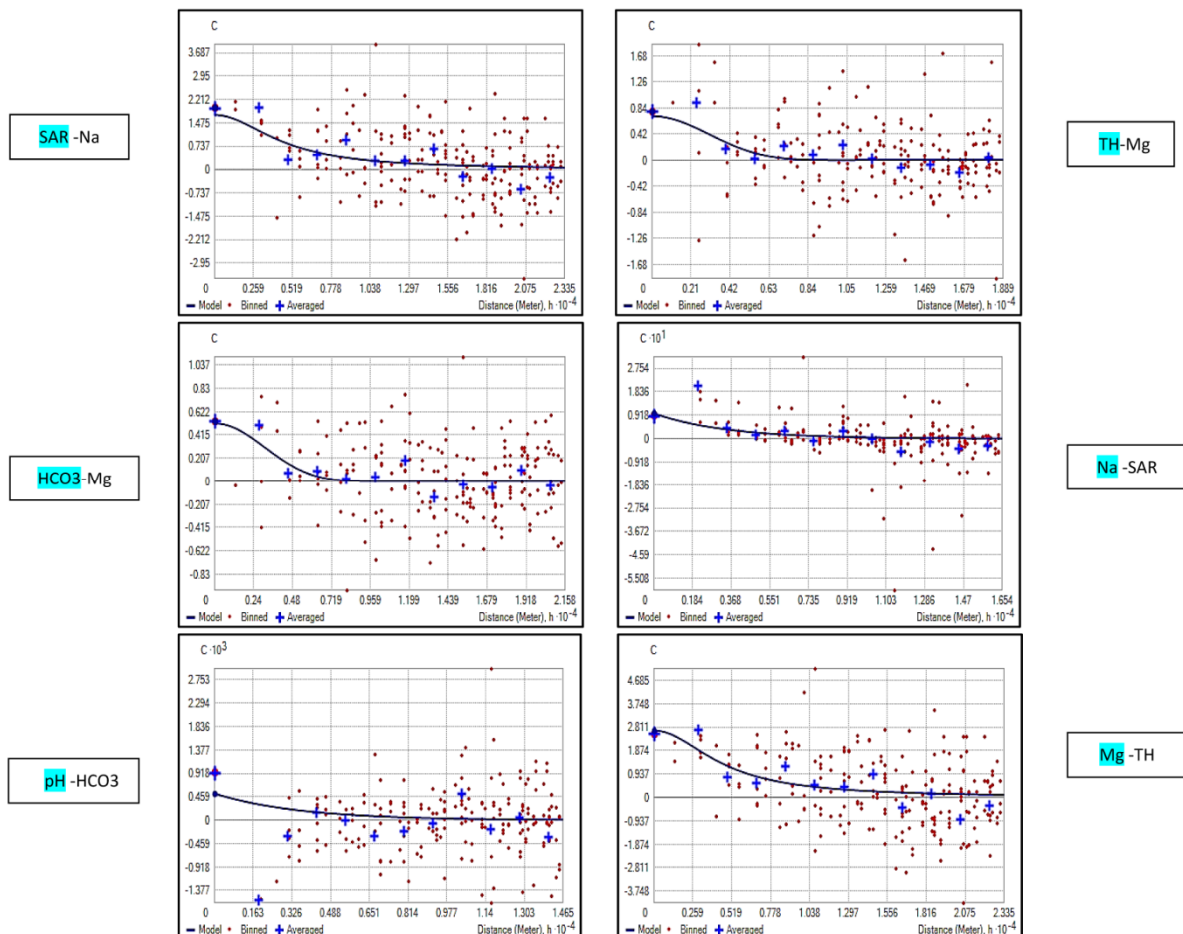
جدول ۶. ضرایب همبستگی بین ویژگی‌های کیفی آب‌های زیرزمینی دشت بیضاء-زرقان

پارامتر کیفی		EC	TDS	pH	HCO <sub>3</sub>	Cl	SO <sub>4</sub>	Ca	Mg	Na	K	SAR	TH	
TH		0/91**	0/90**	0/06	-0/34	0/87**	0/81**	0/89**	0/92**	0/83**	0/89**	0/46*	1	TH
Mg		0/79**	0/78**	0/10	-0/37	0/74**	0/78**	0/66**	1	0/48**	0/79**	0/31	0/92**	Mg
SAR		0/75**	0/76**	0/08	0/02	0/75**	0/60**	0/56**	0/31	0/97**	0/77**	1	0/46*	SAR
Na		0/87**	0/87**	0/09	-0/05	0/85**	0/71**	0/69**	0/48**	1	0/88**	0/97**	0/63**	Na
PH		0/13	0/15	1	-0/31	0/19	0/13	0/008	0/10	0/09	0/11	0/08	0/06	PH
HCO <sub>3</sub>		-0/21	-0/19	-0/31	1	-0/24	-0/07	-0/27	-0/37	-0/05	-0/22	0/02	-0/34	HCO <sub>3</sub>

\* همبستگی در سطح ۰/۰۵ معنی دار است. \*\* همبستگی در سطح ۰/۰۱ معنی دار است.

ساختار فضایی داده‌ها را نمایش می‌دهد.

شکل ۴ واریوگرام‌های متقابل عامل‌های کیفی آب زیرزمینی دشت بیضاء-زرقان را نشان می‌دهد. هر واریوگرام



شکل ۴. واریوگرام‌های متقابل مربوط به پارامترهای کیفی منابع آب زیرزمینی دشت بیضاء-زرقان

SAR و Na مدل رشنال کوادریک به ترتیب با مقدار خطای ۰/۵۵ و ۴/۷۷ و برای متغیر pH مدل معکوس فاصله وزنی با توان بھینه (توان ۱) با مقدار خطای به ترتیب با مقدار خطای ۰/۲۴ و برای عنصر  $HCO_3$  مدل نمایی با مقدار خطای ۰/۲۷ از بیشترین دقت و کمترین خطای نسبت به سایر روش‌های میانیابی برخوردار می‌باشند (جدول ۷).

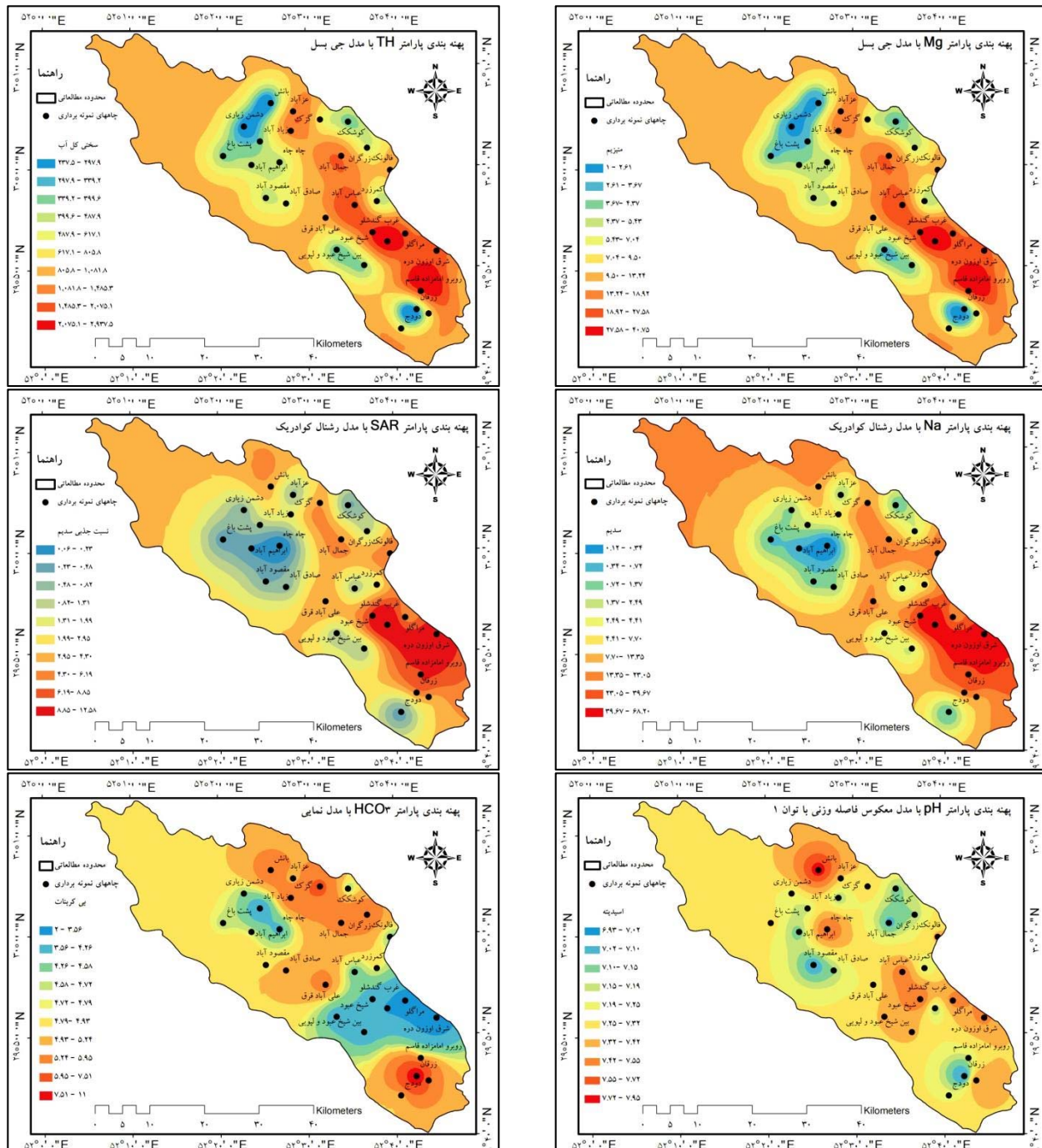
برای تعیین مناسب‌ترین روش میانیابی از میان روش‌های قطعی یعنی معکوس فاصله وزنی وتابع شعاع محور و روش‌های زمین‌آماری کریجینگ ساده و کوکریجینگ ساده، از ریشه دوم میانگین مربیعات خطای (RMSe) استفاده شد. نتایج نشان داد که برای پارامترهای TH و Mg مدل جی-بسل به ترتیب با مقدار خطای ۱۷۲/۳۴ و ۲/۶۷، برای عناصر شیمیایی

جدول ۷. نتایج ارزیابی روش‌های قطعی و زمین‌آماری با استفاده از معیار آماری RMSe

RMSe	بهترین روش میانیابی		شاخص کیفیت آب زیرزمینی
	مدل نیم تغییر نگار	روش تخمین	
۶۲۸/۷۶	بهینه با توان ۲/۲۸	معکوس فاصله وزنی	
۵۸۸/۸۶	اسپیلان چندربعی معکوس	تابع شعاع محور	
۶۰۷/۶۸	رشنال کوادریک	کریجینگ	TH
۱۷۲/۳۴	جی-بسل	کوکریجینگ	
۹/۴۶	بهینه با توان ۱/۸۷	معکوس فاصله وزنی	
۸/۹۳	اسپیلان چندربعی معکوس	تابع شعاع محور	
۸/۵۸	جی-بسل	کریجینگ	Mg
۲/۶۷	جی-بسل	کوکریجینگ	
۳/۲۲	بهینه با توان ۱	معکوس فاصله وزنی	
۳/۱۳	اسپیلان چندربعی معکوس	تابع شعاع محور	SAR
۲/۶۶	دایره‌ای	کریجینگ	
۱/۵۵	رشنال کوادریک	کوکریجینگ	
۱۳/۷۹	بهینه با توان ۲/۱۷	معکوس فاصله وزنی	
۱۳/۱۹	اسپیلان چندربعی معکوس	تابع شعاع محور	Na
۱۴/۸۶	رشنال کوادریک	کریجینگ	
۴/۷۷	رشنال کوادریک	کوکریجینگ	
۰/۲۴	بهینه با توان ۱	معکوس فاصله وزنی	
۰/۲۶	اسپیلان چندربعی معکوس	تابع شعاع محور	pH
۰/۲۷	نمایی	کریجینگ	
۰/۲۷	نمایی	کوکریجینگ	
۱/۰۲	بهینه با توان ۱/۲	معکوس فاصله وزنی	
۱/۴۷	اسپیلان چندربعی معکوس	تابع شعاع محور	
۱/۴۲	نمایی	کریجینگ	$HCO_3$
۱/۲۷	نمایی	کوکریجینگ	

معنی دار قوی با هم می باشند (۹۲/۰)، بنابراین توزیع مکانی تغییرات این دو پارامتر در محدوده مطالعاتی تا حدود زیادی مشابه هم است.

تأثیر پارامترهای کیفی بر روی منطقه مورد مطالعه در شکل ۵ نشان داده شده است. با توجه به اینکه از روش کوکریجینگ با مدل جی-بسیل برای تهیه نقشه های پهن بندی عناصر TH و Mg استفاده شد و این دو عنصر دارای همبستگی



شکل ۵. نقشه های پهن بندی پارامترهای کیفی منابع آب زیرزمینی دشت بیضاء - زرگان

مناسبی از لحاظ غلظت بیکربنات قرار دارند. مقدار این عنصر شیمیایی در شرق اوزون دره به کمترین میزان خود یعنی ۲ (میلی اکی والان در لیتر) می‌رسد، اما نواحی شمال شرق و جنوب محدوده مطالعاتی از شرایط نامناسبی برخوردارند، بطوريکه غلظت بیکربنات در زرقان به مقدار ۱۱ (میلی اکی والان در لیتر) می‌رسد. میزان پارامترهای سختی کل آب، منیزیم، نسبت جذبی سدیم و سدیم در نواحی جنوب شرقی به بیشترین و در شمال دشت به کمترین غلظت خود می‌رسد.

### بحث و نتیجه‌گیری

رویکرد ارائه شده در این تحقیق، کاربرد تکنیک تحلیل عاملی به منظور کاهش حجم داده‌ها و تعیین مهم‌ترین عناصر شیمیایی مؤثر در کیفیت آب‌های زیرزمینی منطقه و استفاده از روش‌های مختلف زمین‌آماری باهدف تشخیص بهترین مدل برای پنهان‌بندی مکانی متغیرهای کیفی بوده است. نتایج نشان داد که سه عامل قابلیت تبیین واریانس‌ها را دارند. یعنی عامل‌های سختی آب، شوری آب و اسیدیته آب به ترتیب هر کدام  $4/4$ ،  $34/7$  و  $10/9$  درصد واریانس را در بردارند و در مجموع  $90/1$  درصد تغییرات کیفی آب زیرزمینی منطقه تحت تأثیر این سه مؤلفه اصلی است. همچنین سهم هر متغیر شیمیایی یا بار عاملی در هر عامل بعد از چرخش واریماکس تعیین گردید. بنابراین از عامل اول، پارامترهای TH و Mg، از عامل دوم، متغیرهای SAR و Na و از عامل سوم، عناصر pH و  $HCO_3$  که دارای بیشترین بار عاملی بر روی عامل‌های استخراج شده بودند، به عنوان مهم‌ترین پارامترهای مؤثر در کیفیت آب زیرزمینی منطقه انتخاب شدند. بنابراین تغییرات مکانی پارامترهای فوق با استفاده از روش‌های قطعی و زمین‌آماری میانیابی گردید. در روش‌های زمین‌آمار برای انتخاب مدل مناسب جهت برآش به نیم تغییرنامای تجربی از ریشه میانگین مربع خطای استاندارد (RMSE) و استحکام ساختار فضایی قوی‌تر استفاده شد. برای تعیین مناسب‌ترین روش میانیابی از میان روش‌های قطعی یعنی معکوس فاصله وزنی و تابع شعاع محور و روش‌های زمین‌آماری کریجینگ

شرایط مشابه برای دو پارامتر کیفی SAR و Na نیز صادق است (ضریب همبستگی این دو عنصر  $0/97$  است). بیشترین مقدار پارامترهای شیمیایی TH و Mg در شرق و جنوب شرقی دشت و در مناطقی چون روبروی امامزاده قاسم، شرق اوزون دره، مراغلو، غرب و شرق گندسلو و عباس‌آباد مشاهده می‌شود. بطوريکه مقدار سختی کل آب در شرق گندسلو به  $2937/5$  (میلی‌گرم در لیتر) و غلظت منیزیم در همین منطقه به  $40/75$  (میلی اکی والان در لیتر) می‌رسد. کمترین میزان غلظت این دو عنصر شیمیایی در شمال منطقه یعنی بانش، دشمن زیاری و پشت باغ و ناحیه کوچکی در جنوب دشت (زرقان) دیده می‌شود. مقدار سختی کل آب و منیزیم به ترتیب در بانش  $237/5$  (میلی‌گرم در لیتر) و در دشمن زیاری ۱ (میلی اکی والان در لیتر) است. نقشه‌های مربوط به تغییرات مکانی دو عناصر SAR و Na ترسیم شده با مدل رشناک کوادریک بیانگر آن است که مقدار این دو پارامتر در جنوب شرقی دشت به بیشترین و در شمال منطقه به کمترین حد خود می‌رسد. مناطقی چون چاه چاه، ابراهیم‌آباد، پشت باغ و مقصود‌آباد از شرایط نسبتاً خوبی برخوردارند و مقدار نسبت جذبی سدیم و عصر سدیم به ترتیب با میزان  $6/0$  و  $12/0$  (میلی اکی والان در لیتر) در محدوده چاه چاه به کمترین غلظت خود می‌رسد. اما نقاطی مانند روبروی امامزاده قاسم، شرق اوزون دره، غرب و شرق گندسلو و مراغلو در بدترین شرایط به سر می‌برند، بطوريکه مقدار این دو پارامتر به ترتیب  $58/12$  و  $2/68$  (میلی اکی والان در لیتر) در شرق گندسلو مشاهده می‌شود. توزیع مکانی تغییرات پارامتر کیفی pH که با مدل نمایی تهیه شد، نشان می‌دهد که غلظت آن در منطقه بانش بسیار بالا بوده و مقدار آن  $95/7$  (میلی اکی والان در لیتر) است. مناطقی چون چاه چاه، شرق و غرب گندسلو، شرق اوزون دره، مراغلو و عباس‌آباد نیز از لحاظ اسیدیته آب در شرایط مناسبی نیستند، اما نقاطی مانند مقصود‌آباد، جمال‌آباد، کوشک و زرقان در شرایط بهتری از لحاظ pH قرار دارند. نقشه پنهان‌بندی عنصر  $HCO_3$  ترسیم شده با مدل نمایی بیانگر آن است که ناحیه کوچکی در شمال و منطقه وسیع‌تری در شرق دشت در شرایط

- حیدری و ف. سرمدیان. ۱۳۸۷. بررسی روش‌های درون‌یابی مکانی جهت تعیین تغییرات مکانی ویژگی‌های کیفی آب‌های زیرزمینی دشت رفسنجان. مجله علوم و مهندسی آبخیزداری ایران، ۵(۲): ۶۳-۷۰.
۳. جهانشاهی، ا. ع. روحی مقدم و ع. دهواری. ۱۳۹۳. ارزیابی پارامترهای کیفی آب زیرزمینی با استفاده از GIS و زمین‌آمار (مطالعه موردی: آبخوان دشت شهر بابک). دانش آب و خاک، ۲۴(۲): ۱۸۳-۱۹۷.
۴. حیدری‌زاده، ز. و ث. یعقوبی. ۱۳۹۶. بررسی روند تغییرات کمی و کیفی آبخوان دشت ابوغوریر با استفاده از سیستم اطلاعات جغرافیایی. ترویج و توسعه آبخیزداری، ۹(۵): ۹-۱۶.
۵. خسروی، ح.، ا. مرادی و ح. دارابی. ۱۳۹۴. شناسایی مناطق همگن از نظر کیفیت آب زیرزمینی با استفاده از تحلیل عاملی و خوشه‌ای؛ مطالعه موردی دشت قیر استان فارس. مهندسی آبیاری و آب، ۶(۲۱): ۱۱۹-۱۳۳.
۶. رستم‌زاده، ه.، م. ر. نیکجو، ا. اسدی و ج. جعفرزاده. ۱۳۹۴. توان سنجی تغییرات کیفیت آب زیرزمینی قابل شرب در پهنه‌های جمعیتی دشت اردبیل با استفاده از ترکیب مدل‌های زمین‌آماری و تصمیم‌گیری چندمعیاری در محیط GIS. هیدرورژئومورفوژئی، ۱(۳): ۴۳-۶۰.
۷. رضایی، م. و. و. امیری. ۱۳۹۲. ارزیابی تغییرات کیفی آب زیرزمینی دشت لنجانات با استفاده از تحلیل عاملی ترکیب شده با نظریه انتروپی اطلاعات. محیط‌شناسی، ۳۹(۲): ۳۳-۴۴.
۸. زاهدی‌فر، م.، س. ع. ا. موسوی و م. رجبی. ۱۳۹۲. پهنه‌بندی ویژگی‌های شیمیایی کیفیت آب‌های زیرزمینی دشت فسا با استفاده از روش‌های زمین‌آماری. آب و خاک، ۲۷(۴): ۸۱۲-۸۲۲.
۹. شعبانی، م. ۱۳۹۰. ارزیابی روش‌های زمین‌آماری در تهیه نقشه‌های کیفی آب‌های زیرزمینی و پهنه‌بندی آنها مطالعه موردی: دشت نی‌ریز، استان فارس. جغرافیای طبیعی، ۴(۱۳): ۸۳-۹۶.
۱۰. عباسی جندانی، ش. و ع. طالبی. ۱۳۹۴. مدل‌سازی تغییرات زمانی و مکانی کیفیت آب زیرزمینی در مناطق خشک با استفاده از روش‌های زمین‌آماری (مطالعه موردی: دشت کوهپایه - سگزی اصفهان). طلوع بهداشت یزد، ۱۴(۱): ۱۲۳-۱۳۷.

ساده و کوکریچینگ ساده، از فن اعتبارسنجی متقابل با معیار آماری ریشة دوم میانگین مربعات خط (RMSe) استفاده شد. نتایج نشان داد که برای متغیرهای TH و Mg مدل جی-بسل، برای عناصر SAR و Na، مدل رشنال کوادریک، برای پارامتر HCO<sub>3</sub> مدل نمایی و برای pH مدل معکوس فاصله وزنی با توان بهینه (توان ۱) دارای مقدار RMSe کمتری بوده و دقت پیش‌بینی را تا حد بسیار زیادی بالا برده است.

نقشه‌های پهنه‌بندی مکانی پارامترهای کیفی منابع آب زیرزمینی دشت بیانگر آن است که میزان پارامترهای TH، Mg و SAR در نواحی جنوب شرقی به بیشترین و در شمال دشت به کمترین غلظت خود می‌رسد. توزیع مکانی تغییرات عنصر شیمیایی pH نشان داد که مقدار آن در منطقه بانش واقع در شمال دشت بسیار بالا بوده و از لحظه غلظت HCO<sub>3</sub> نواحی شمال شرق و جنوب منطقه در شرایط نامناسبی قرار دارند. استفاده از روش‌های زمین‌آماری جهت پهنه‌بندی و تحلیل مکانی کیفیت آب‌های زیرزمینی با مطالعات و تحقیقات تقی‌زاده مهرجردی و همکاران (۲) در دشت رفسنجان، مزارعی بهبهانی و همکاران (۱۶) در آبخوان دشت بهبهان، عباسی جندانی و طالبی (۱۰) در دشت کوهپایه سگزی استان اصفهان و ولی‌زاده کامران و همکاران (۱۹) در دشت شیرامین استان آذربایجان شرقی مطابقت دارد. بنابراین تکنیک تحلیل عاملی و روش‌های زمین‌آماری می‌تواند ابزار سودمندی برای تحلیل و بررسی تغییرات مکانی پارامترهای شیمیایی منابع آب زیرزمینی باشد و در صورت وجود اطلاعات و داده‌های مربوط به پارامترهای کیفی، ما را در بررسی بلندمدت و دقیق کیفیت و آلدگی منابع آب زیرزمینی یاری کند.

## منابع مورد استفاده

۱. پیری، ح. و. ا. بامری. ۱۳۹۳. بررسی روند تغییرات کمی سطح ایستابی منابع آب زیرزمینی با استفاده از زمین‌آمار و سیستم اطلاعات جغرافیایی (مطالعه موردی: دشت سیرجان). سنجش از دور و سامانه اطلاعات جغرافیایی در منابع طبیعی، ۱۵(۱): ۲۹-۴۴.
۲. تقی‌زاده مهرجردی، ر.، م. زارعیان جهرمی، ش. محمودی، ا.

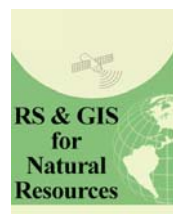
- a case study from Heretaunga Plains, New Zealand. *Agricultural Water Management*, 97(2): 240-246.
23. Brus DJ, Heuvelink GB. 2007. Optimization of sample patterns for universal kriging of environmental variables. *Geoderma*, 138(1): 86-95.
  24. Davis A, Kempton JH, Nicholson A, Yare B. 1994. Groundwater transport of arsenic and chromium at a historical tannery, Woburn, Massachusetts, USA. *Applied Geochemistry*, 9(5): 569-582.
  25. Dorgham MM, Abdel-Aziz N, El-Deeb K, Okbah M. 2004. Eutrophication problems in the western harbour of Alexandria, Egypt. *Oceanologia*, 46(1): 25-44.
  26. Jang CS, Chen SK, Kuo YM. 2013. Applying indicator-based geostatistical approaches to determine potential zones of groundwater recharge based on borehole data. *Catena*, 101: 178-187.
  27. Johnston K, Ver Hoef JM, Krivoruchko K, Lucas N. 2001. Using ArcGIS geostatistical analyst. Esri Redlands, CA, New York, USA, 306 pp.
  28. Kresic N. 2006. Hydrogeology and Groundwater Modeling. 2<sup>nd</sup> Edition, CRC Press, Taylor & Francis Group, 828 pp.
  29. Love D, Hallbauer D, Amos A, Hranova R. 2004. Factor analysis as a tool in groundwater quality management: two southern African case studies. *Physics and Chemistry of the Earth, Parts A/B/C*, 29(15): 1135-1143.
  30. Shi J, Wang H, Xu J, Wu J, Liu X, Zhu H, Yu C. 2007. Spatial distribution of heavy metals in soils: a case study of Changxing, China. *Environmental Geology*, 52(1): 1-10.
  31. Sun Y, Kang S, Li F, Zhang L. 2009. Comparison of interpolation methods for depth to groundwater and its temporal and spatial variations in the Minqin oasis of northwest China. *Environmental Modelling & Software*, 24(10): 1163-1170.
  32. Zhou Z, Zhang G, Yan M, Wang J. 2012. Spatial variability of the shallow groundwater level and its chemistry characteristics in the low plain around the Bohai Sea, North China. *Environmental Monitoring and Assessment*, 184(6): 3697-3710.
  11. عساکر، ح. ۱۳۹۰. مبانی اقلیم‌شناسی آماری. انتشارات دانشگاه زنجان. ۵۵۰ صفحه.
  12. علیزاده، ا. ۱۳۹۴. اصول هیدرولوژی کاربردی. انتشارات دانشگاه امام رضا (ع). ۹۴۲ صفحه.
  13. غفوری، و.، ن. ملکپور و ا. مردانی. ۱۳۹۰. ارزیابی زمین‌آماری کیفیت آب زیرزمینی دشت داراب استان فارس. *حفظاًت منابع آب و خاک*، ۲(۱): ۹۴-۸۱.
  14. غیور، ح. و م. متظری. ۱۳۸۳. پنهان‌بندی رژیم‌های دمایی ایران با مؤلفه‌های مبنا و تحلیل خوش‌ای. *جغرافیا و توسعه*، ۴: ۲۱-۳۴.
  15. کردانی، پ. ۱۳۸۶. ژئوهیدرولوژی. مؤسسه انتشارات و چاپ دانشگاه تهران. ۳۶۸ صفحه.
  16. مزارعی بهبهانی، س.، س. ز. حسینی و س. ع. المدرسي. ۱۳۹۳. مقایسه دقیق روش‌های مختلف زمین‌آمار در ارزیابی کیفیت منابع آب زیرزمینی برای استفاده‌های کشاورزی (مطالعه موردی: آبخوان دشت بهبهان). *مدیریت آب در مناطق خشک*، ۲(۱): ۷۵-۶۵.
  17. مظفری، غ. و ح. بهزادی کریمی. ۱۳۹۶. برآورد سطح ایستایی منابع آب زیرزمینی دشت بیضاء استان فارس. *جغرافیا و مطالعات محیطی*، ۶(۲۱): ۱۶۳-۱۴۵.
  18. مهدوی، م. و م. طاهرخانی. ۱۳۹۱. کاربرد آمار در جغرافیا. *نشر قومس*. ۴۳۴ صفحه.
  19. ولی‌زاده کامران، خ.، ش. روستایی، ت. رحیم‌پور و م. نخستین روحی. ۱۳۹۵. تعیین مناسب‌ترین روش زمین‌آمار در تهیه نقشه‌ی تغییرات شوری آب‌های زیرزمینی (مطالعه‌ی موردی: دشت شیرامین، استان آذربایجان شرقی). *هیدرولوژی مورفو‌لوجی*، ۲(۶): ۱۷-۲۲.
  20. Ahmadi M, Bagheban Zade Dezfooli A. 2012. A geo-statistical approach to the change procedure study of under-ground water table in a GIS framework, case study: Razan-Ghahavand Plain, Hamedan Province, Iran. *Journal of Academic and Applied Studies*, 2(11): 56-69.
  21. Al-Kouri O, Omar H, Abu-Shariah M, Mahmud AR, Mansor S. 2010. Geostatistical analysis of karst landscapes. *Electronic Journal of Geotechnical Engineering*, 15: 913-934.
  22. Baalousha H. 2010. Assessment of a groundwater quality monitoring network using vulnerability mapping and geostatistics:



## RS & GIS for Natural Resources (Vol. 8/ Issue 4) winter 2018

Indexed by ISC, SID, Magiran and Noormags

<http://girs.iaubushehr.ac.ir>



# Spatial analysis of chemical parameters affecting groundwater quality using factor analysis and geostatistical methods (Case study: Bayza-Zarghan plain)

H. Behzadi Karimi<sup>1\*</sup>, K. Omidvar<sup>2</sup>

1. Ph.D. Student of Climatology, Yazd University  
2. Prof. College of Geography, Yazd University

### ARTICLE INFO

#### Article history:

Received 09 September 2016  
Accepted 27 May 2017  
Available online 20 February 2018

#### Keywords:

Groundwater quality parameters  
Factor analysis (FA)  
Geostatistical methods  
Bayza-Zarghan plain  
Fars province

### ABSTRACT

The aim of this study was to determine the most important variables affecting the quality of groundwater in the Bayza-Zarghan plain by using factor analysis technique and estimation of spatial distribution of quality parameters in ArcGIS software. Data of 12 water quality parameters related to 27 wells were collected in summer, 2013. After normalizing the data, using factor analysis (FA), of hardness, salinity and water acidity, that accounted for 90% of the total variance in the data. The share of variables in each factor was determined after Varimax rotation, and two parameters with the most significant correlation with its factor was determined for each factor. The first factor, TH and Mg, the second factor, SAR and Na, and the third factor, pH and HCO<sub>3</sub> were selected as the most important parameters in groundwater quality in the region. The results of definitive and geostatistical methods for estimating the above parameters were analyzed using the statistical criterion of RMSe. The results showed that for all variables other than pH, COKriging method is the most appropriate method. For TH and Mg, the G-Bessel model, for SAR and Na, the Rational-Quadratic model, for HCO<sub>3</sub>, the Exponential model, and for pH, the IDW model with power 1, had a lower error and increased the accuracy of the prediction significantly. Spatial zoning maps for the quality parameters indicated that TH, Mg, SAR and Na parameters reach the highest density in the southeast and the lowest density in the north of the plain. The pH changes show that its value is higher in the Banish area in north of the plain than in other areas. And in terms of HCO<sub>3</sub>, the northeastern and southern regions of the region are in poor condition.

\* Corresponding author e-mail address: h.bkarimi@chmail.ir